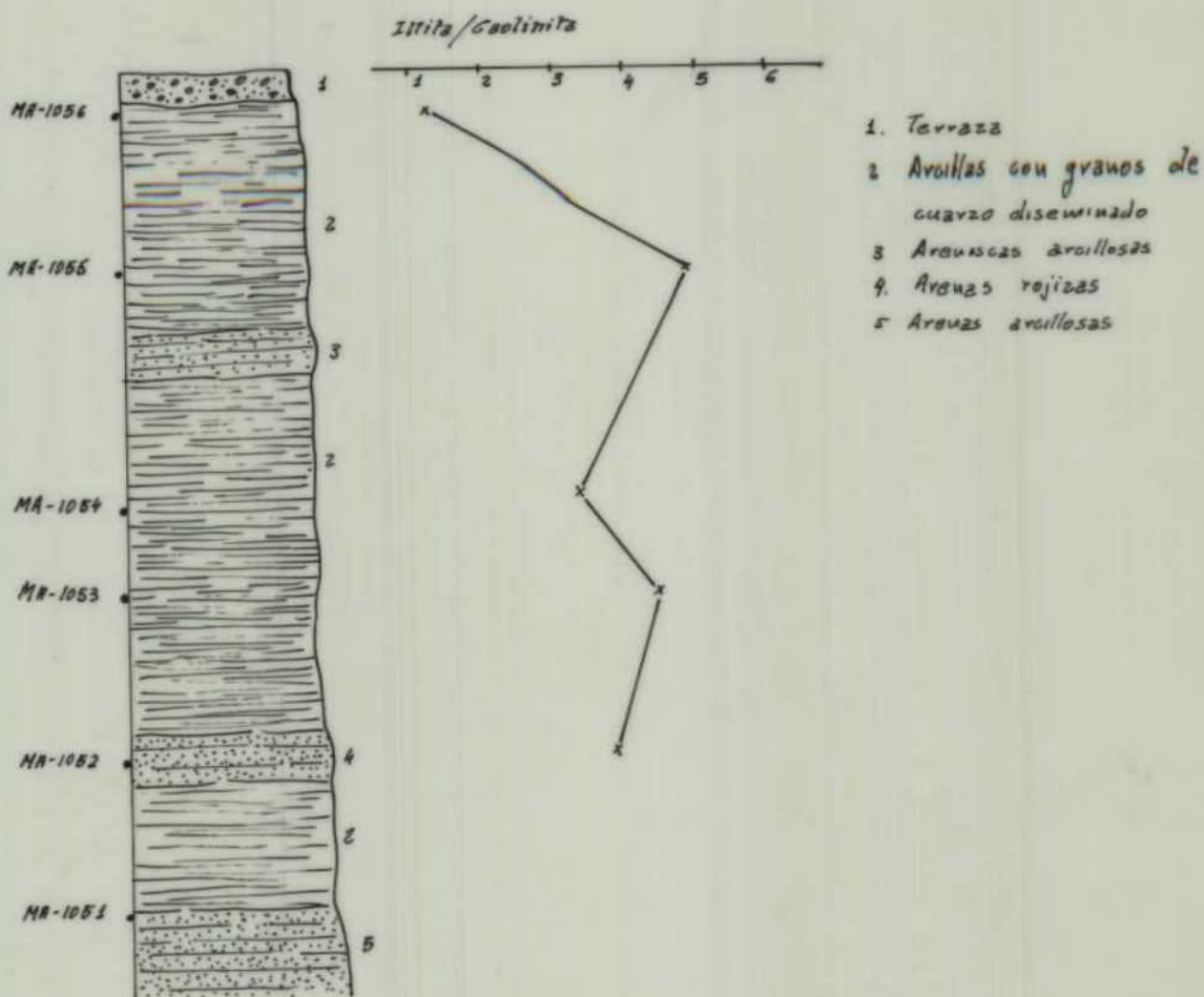


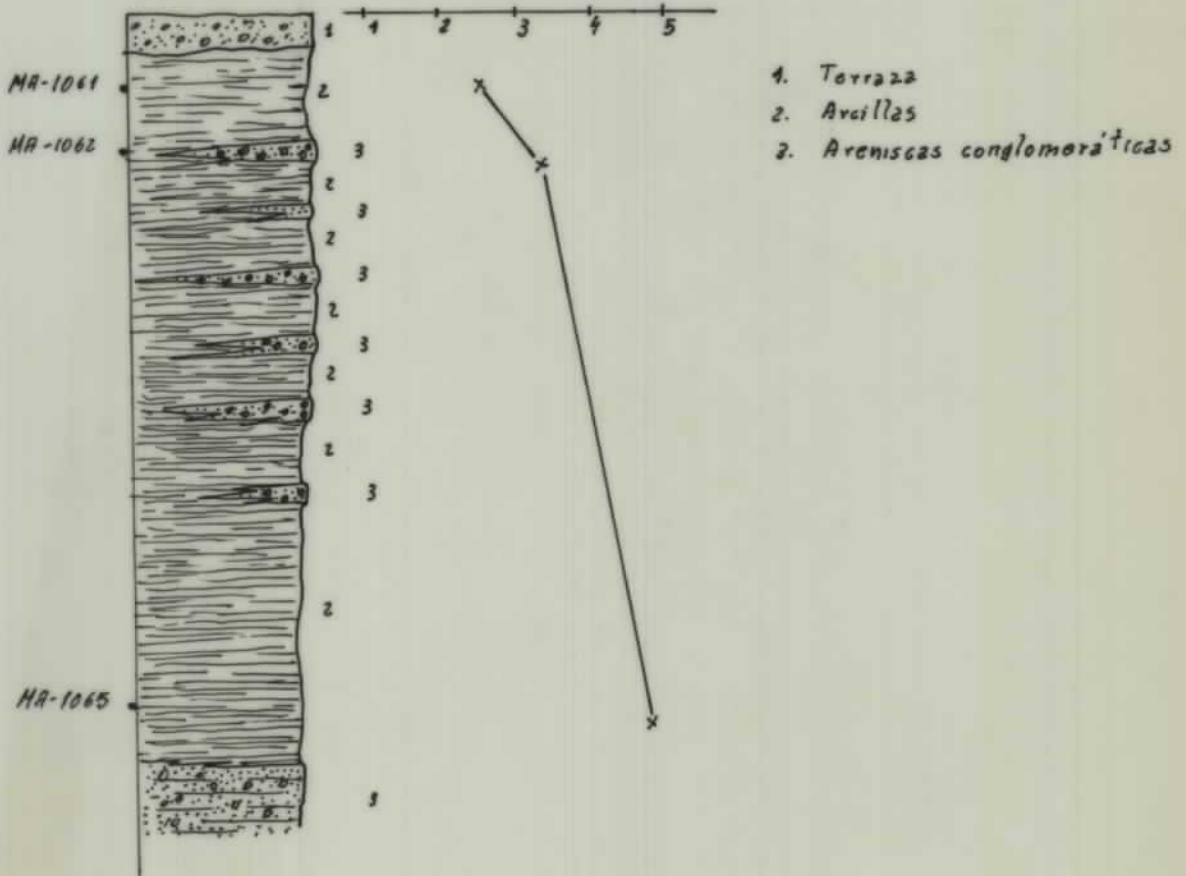
Villanueva de las Peras



20307

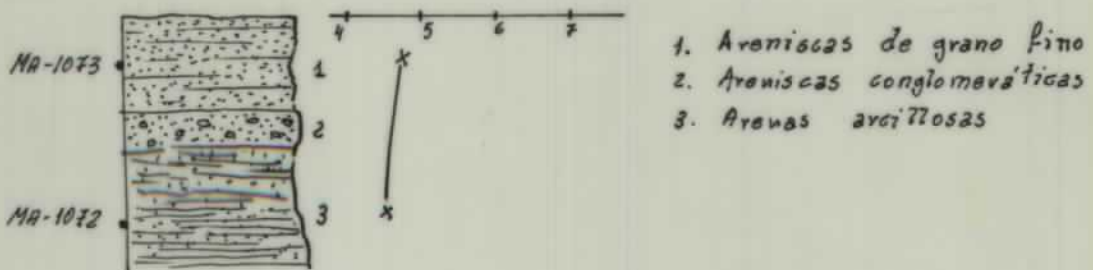
La Barranca

Illita/Caolinita



Santa Marta de Tera

Illita/Caolinita



20307

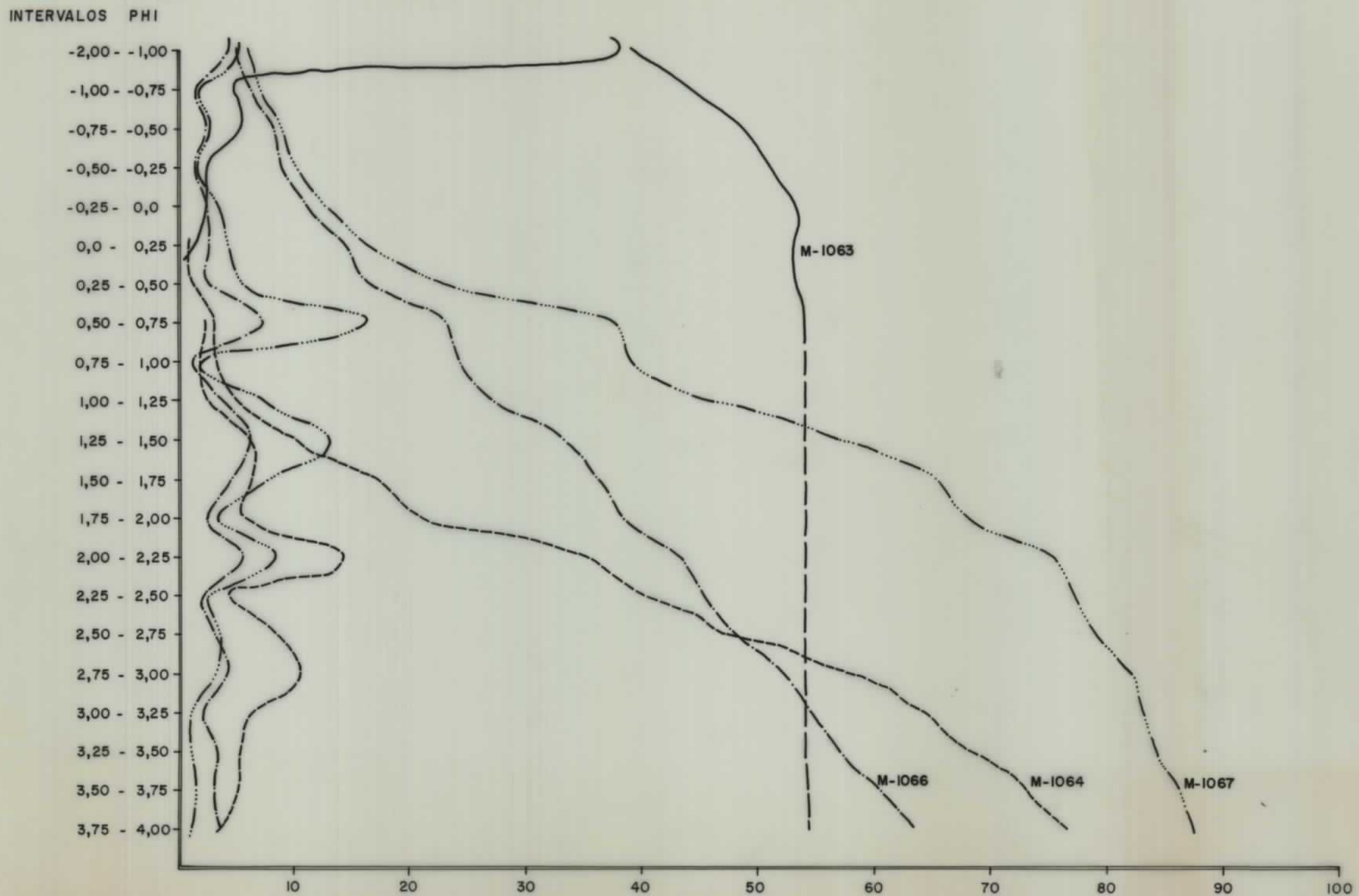


Fig. 1 Curvas normales y acumuladas de granulometrías para sedimentos del Terciario y Pliocuaternario Hoja de MICERECES 12-13

20307

MUESTRAS DE 1135 a 1140

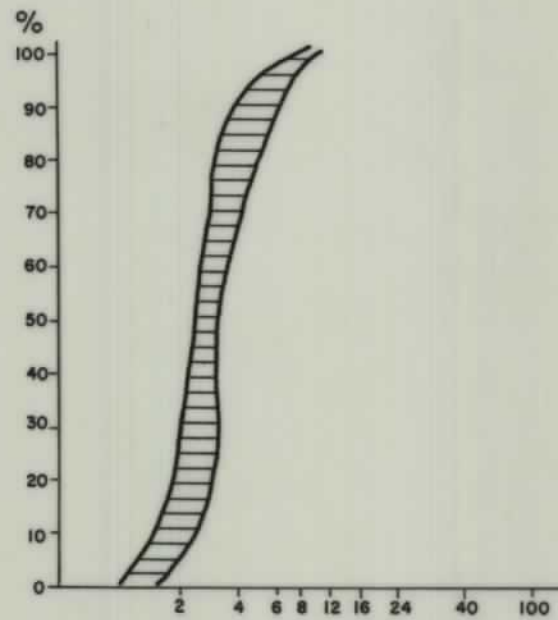


Fig. 2 Espectro de las curvas acumuladas de -  
los análisis cantométricos de MICERECES

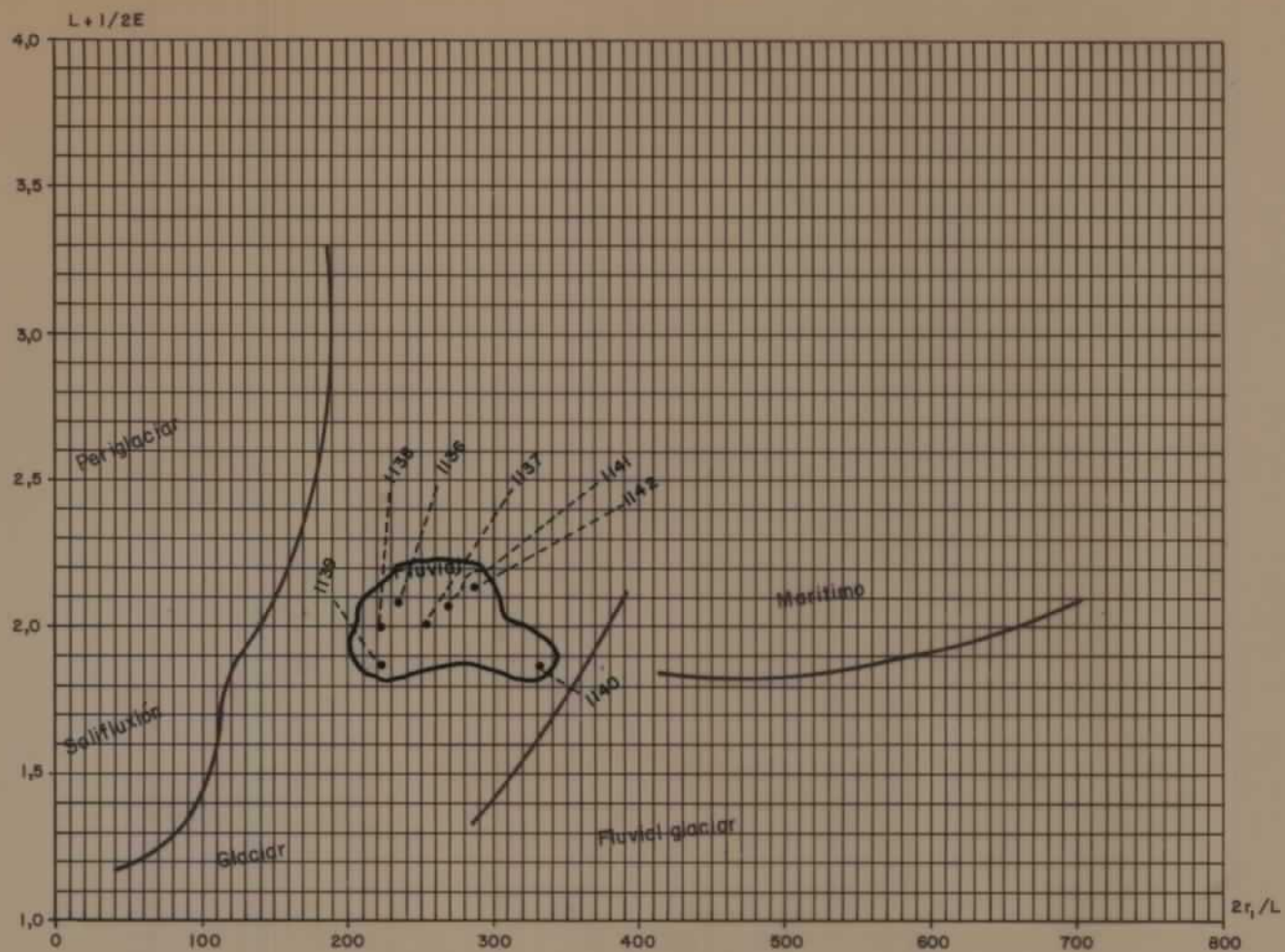


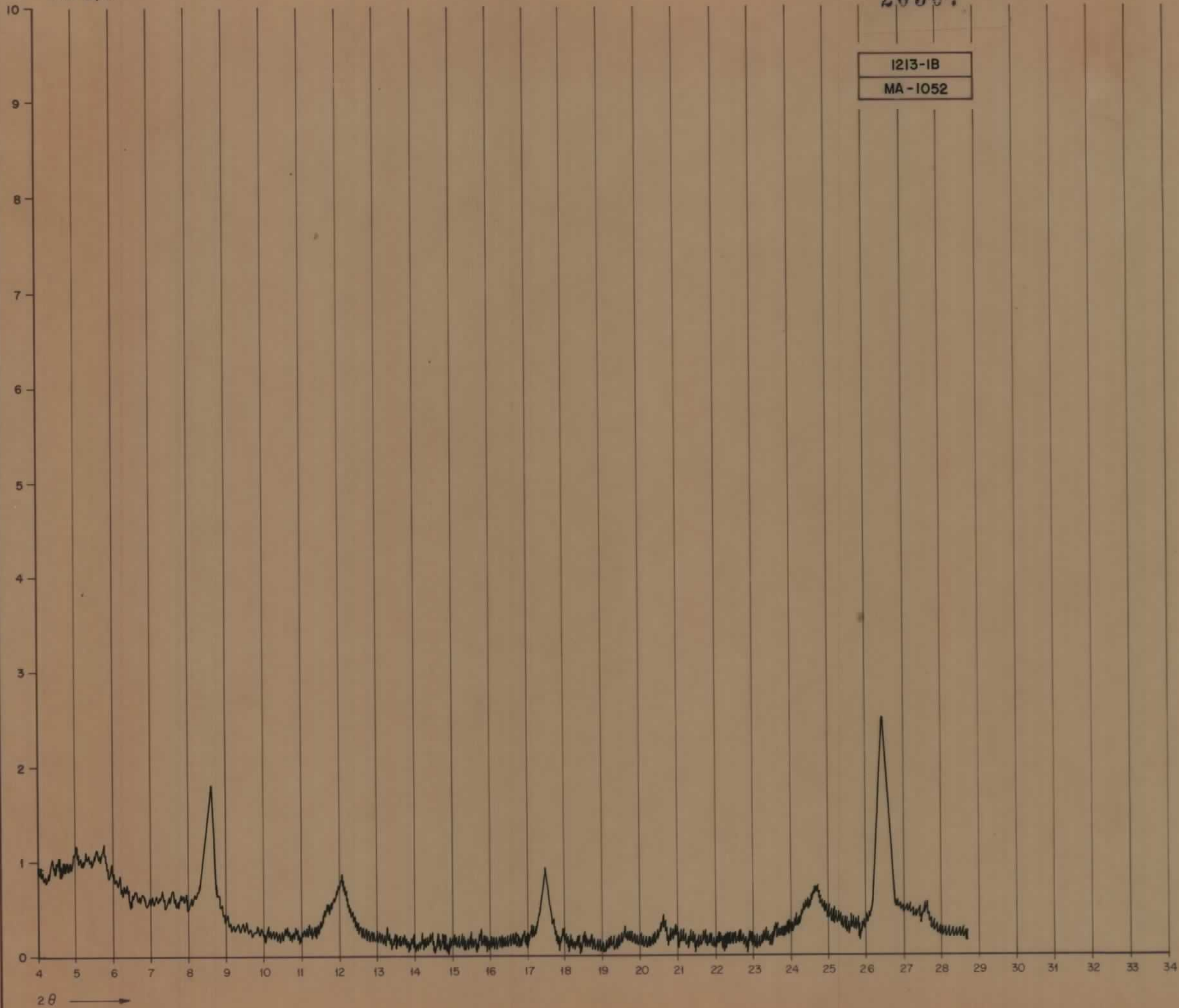
Fig. 3. Situación de los depósitos en el diagrama de Tricart.

$1 \cdot 10^4$  c.p.s.

20307

1213-1B

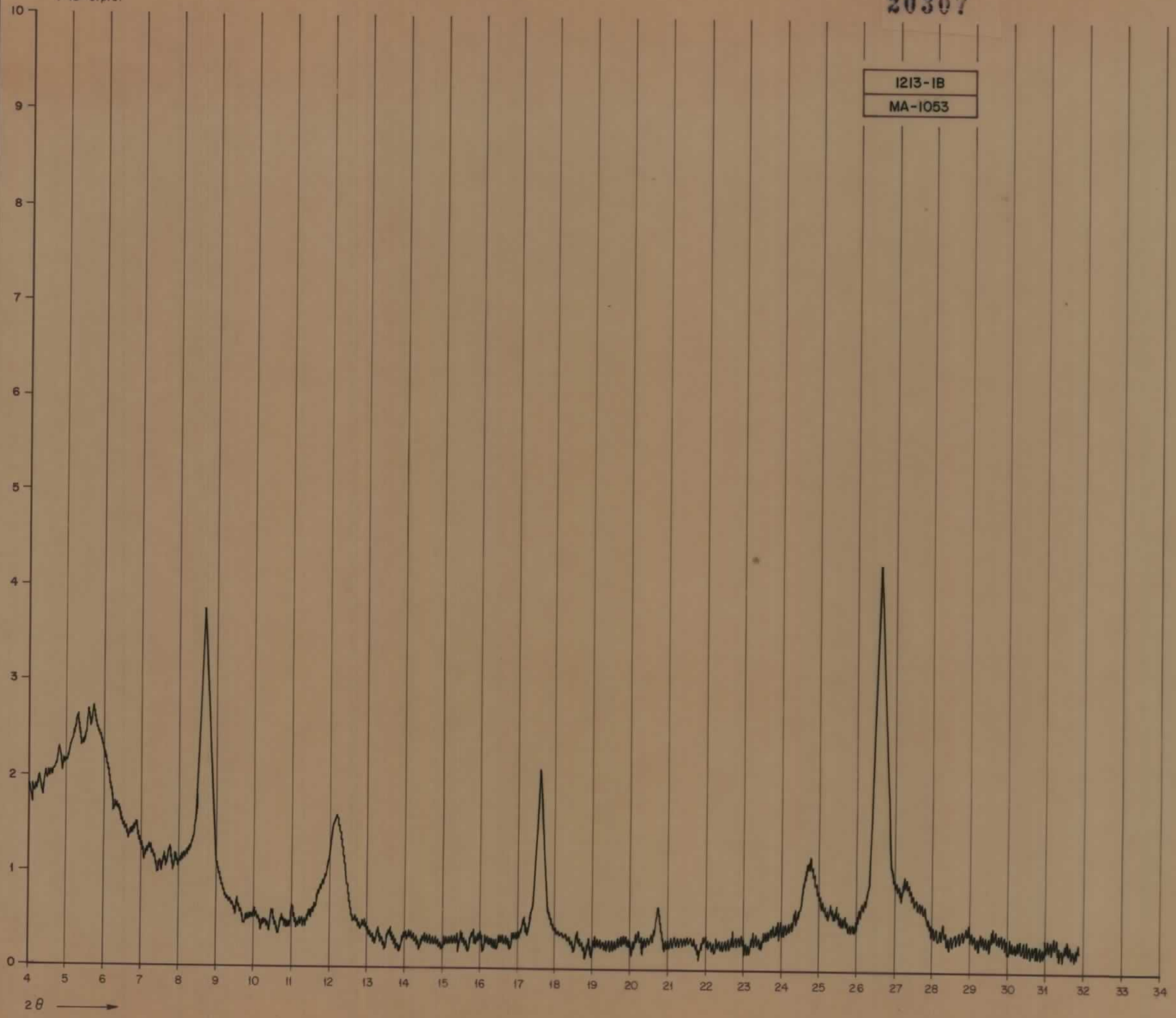
MA-1052



$1 \cdot 10^4$  c.p.s.

20307

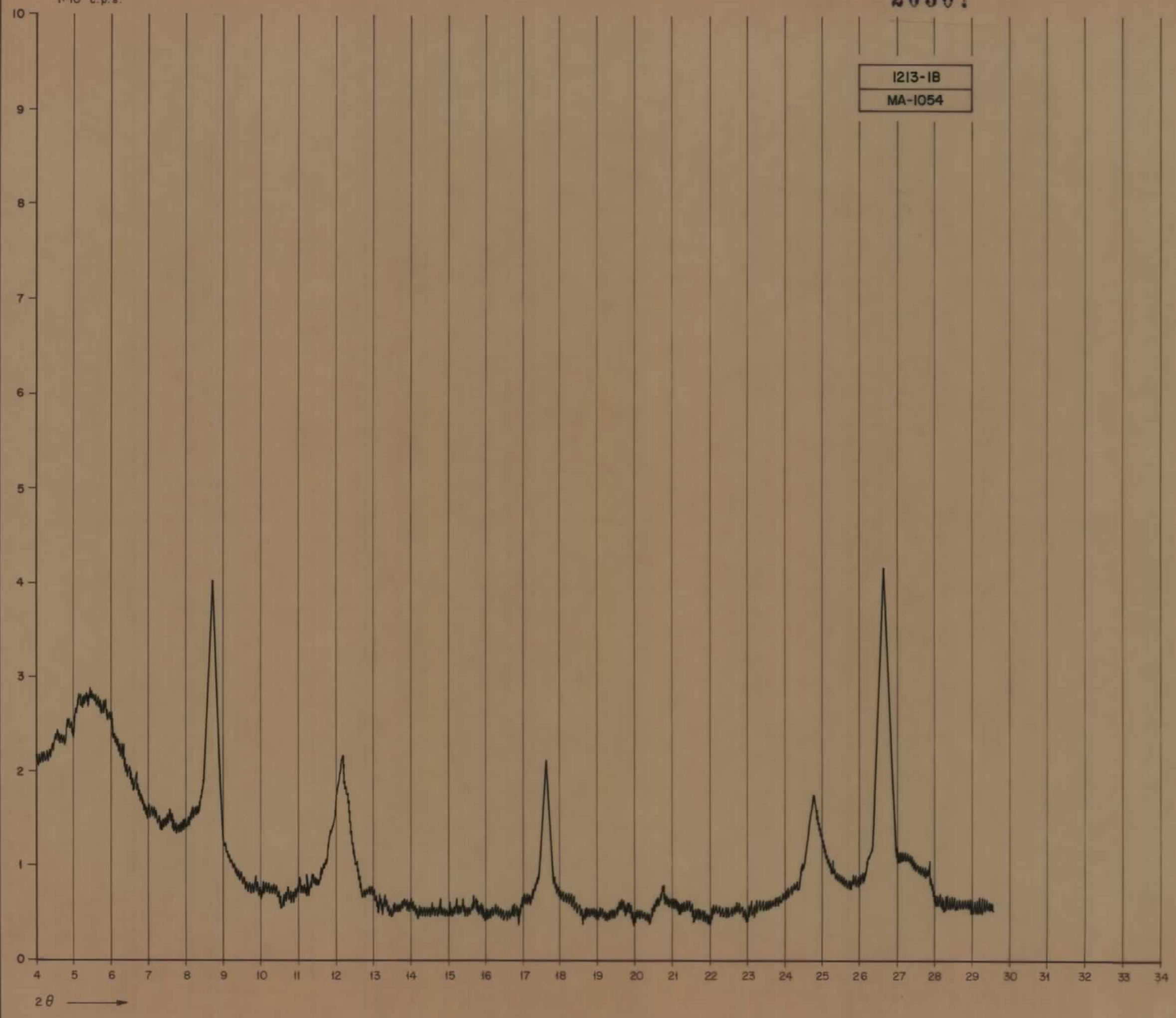
1213-1B
MA-1053



20307

$1 \cdot 10^4$  c.p.s.

I213-1B
MA-1054



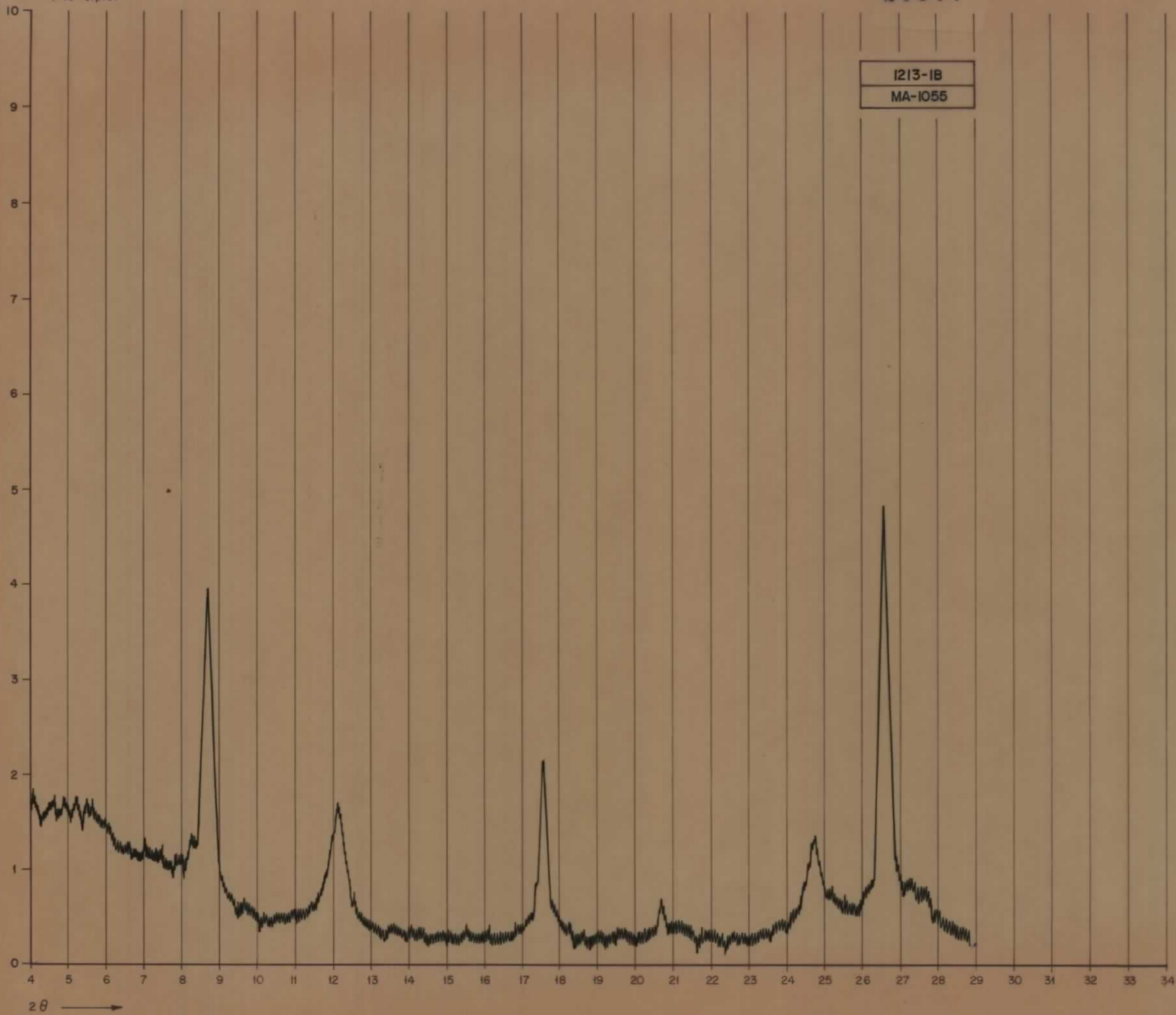


$I \cdot 10^4$  c.p.s.

20307

1213-1B

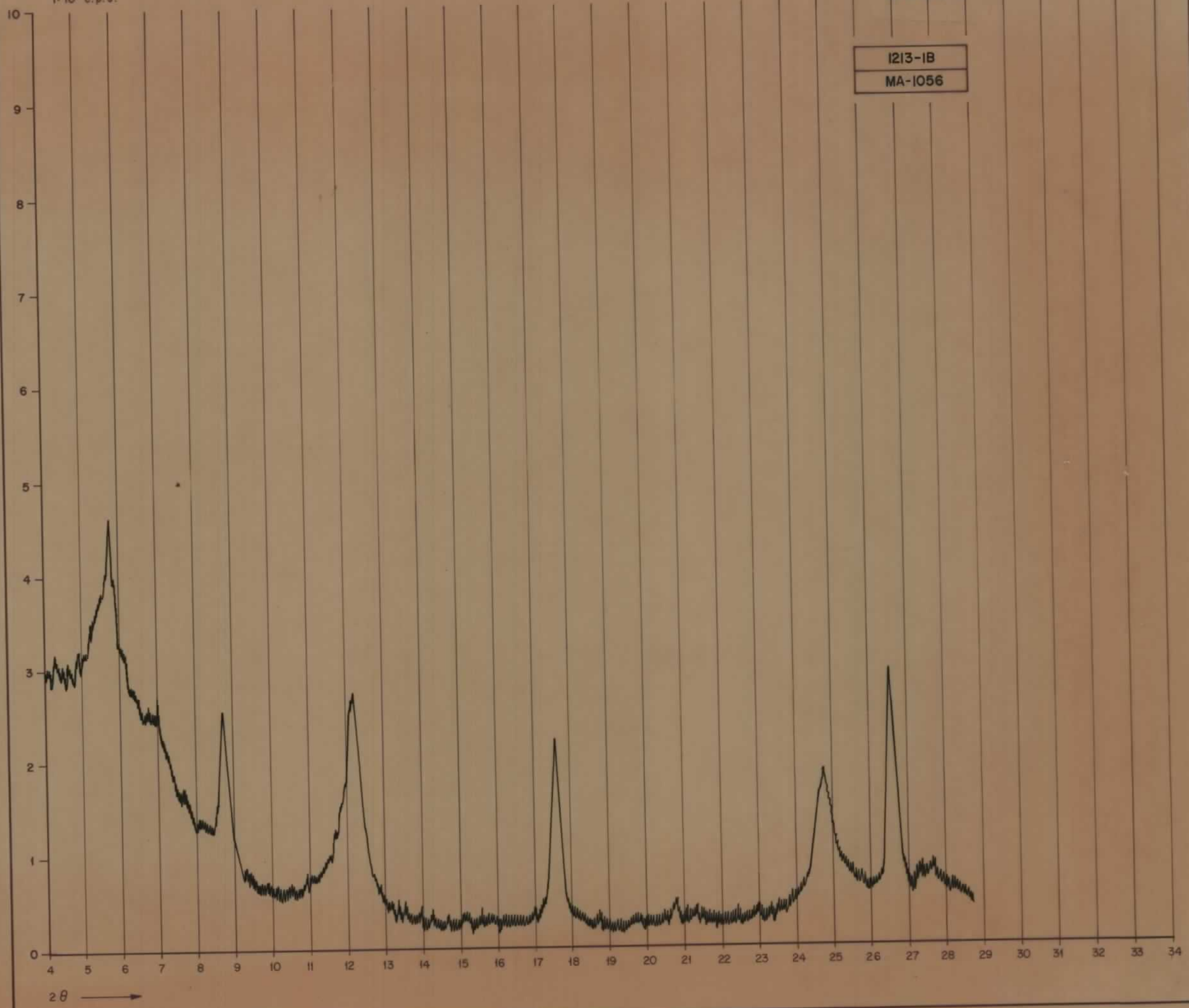
MA-1055



20307

$1 \cdot 10^4$  c.p.s.

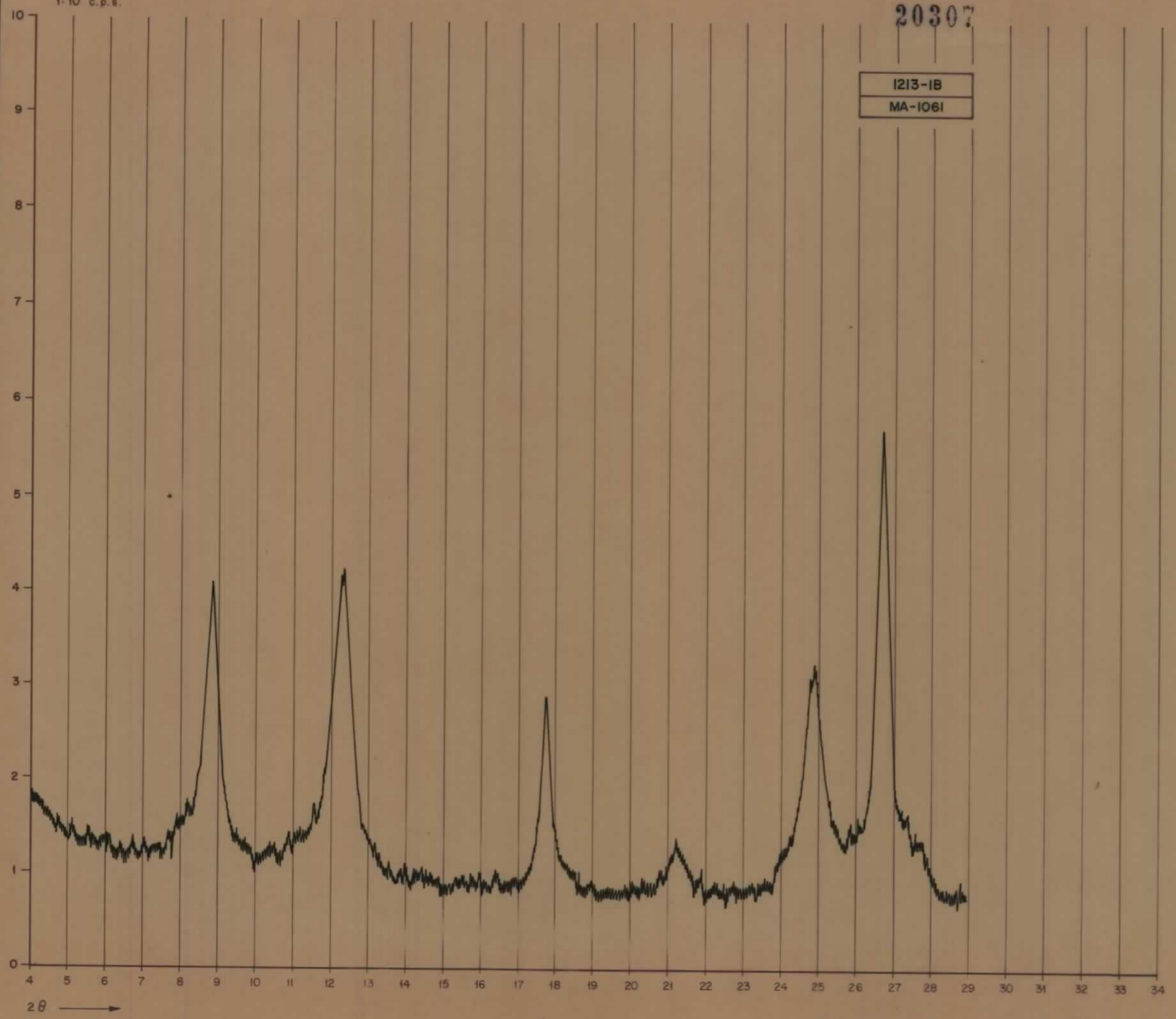
I213-1B
MA-1056



$1 \cdot 10^4$  c.p.s.

20307

1213-1B  
MA-1061

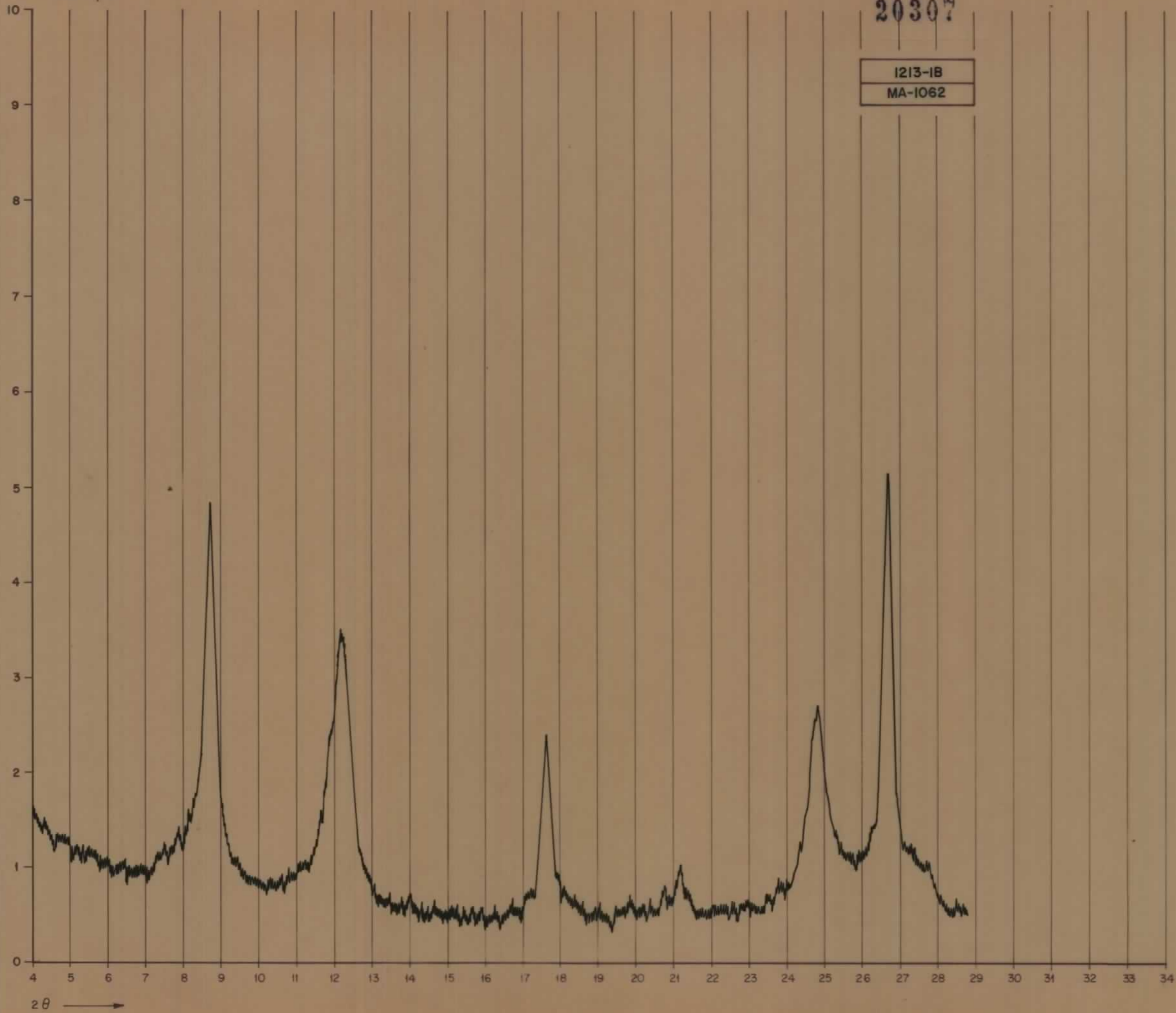


$1 \cdot 10^4$  c.p.s.

20307

1213-1B

MA-1062

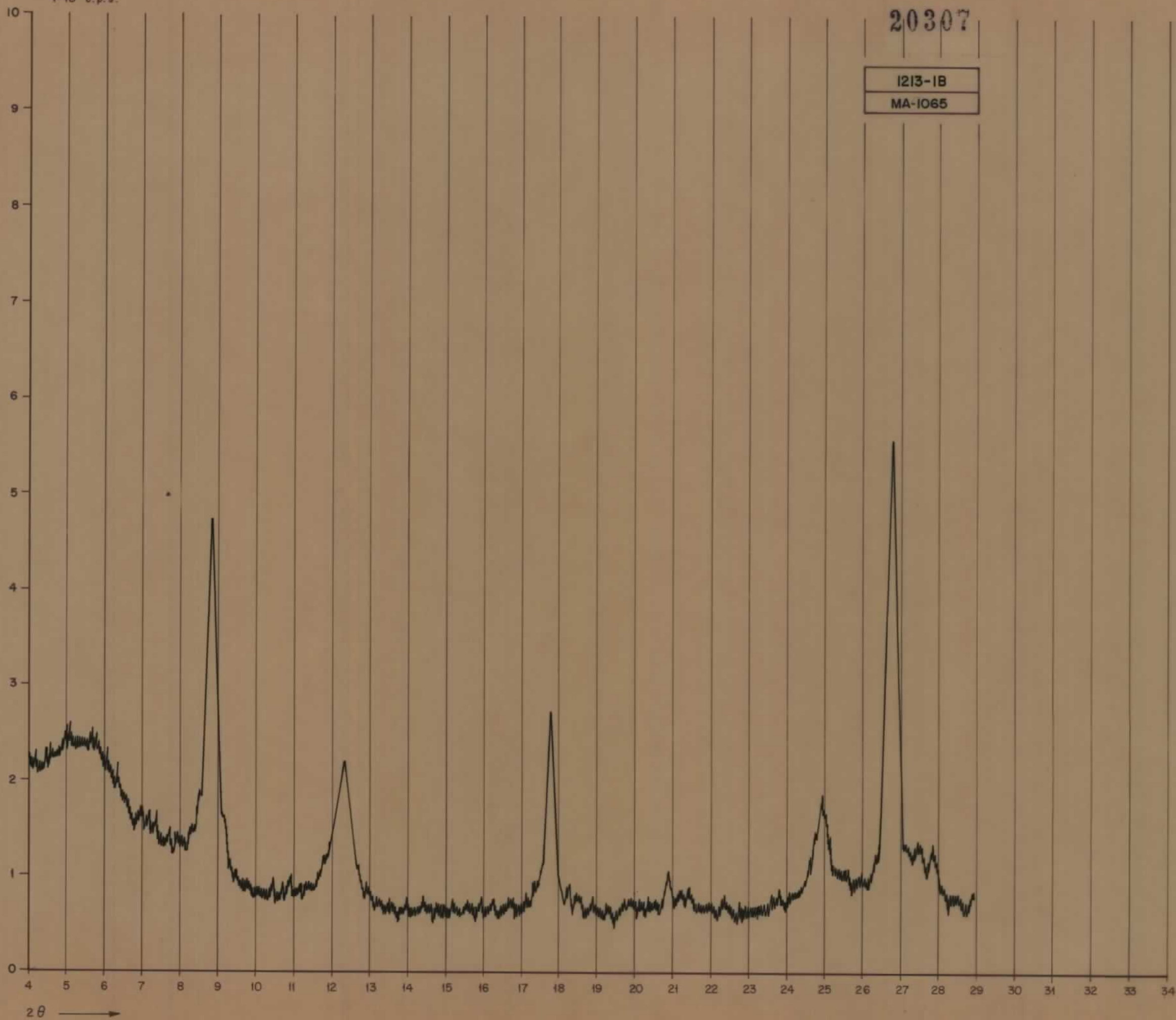


$1 \cdot 10^4$  c.p.s.

20307

1213-1B

MA-1065

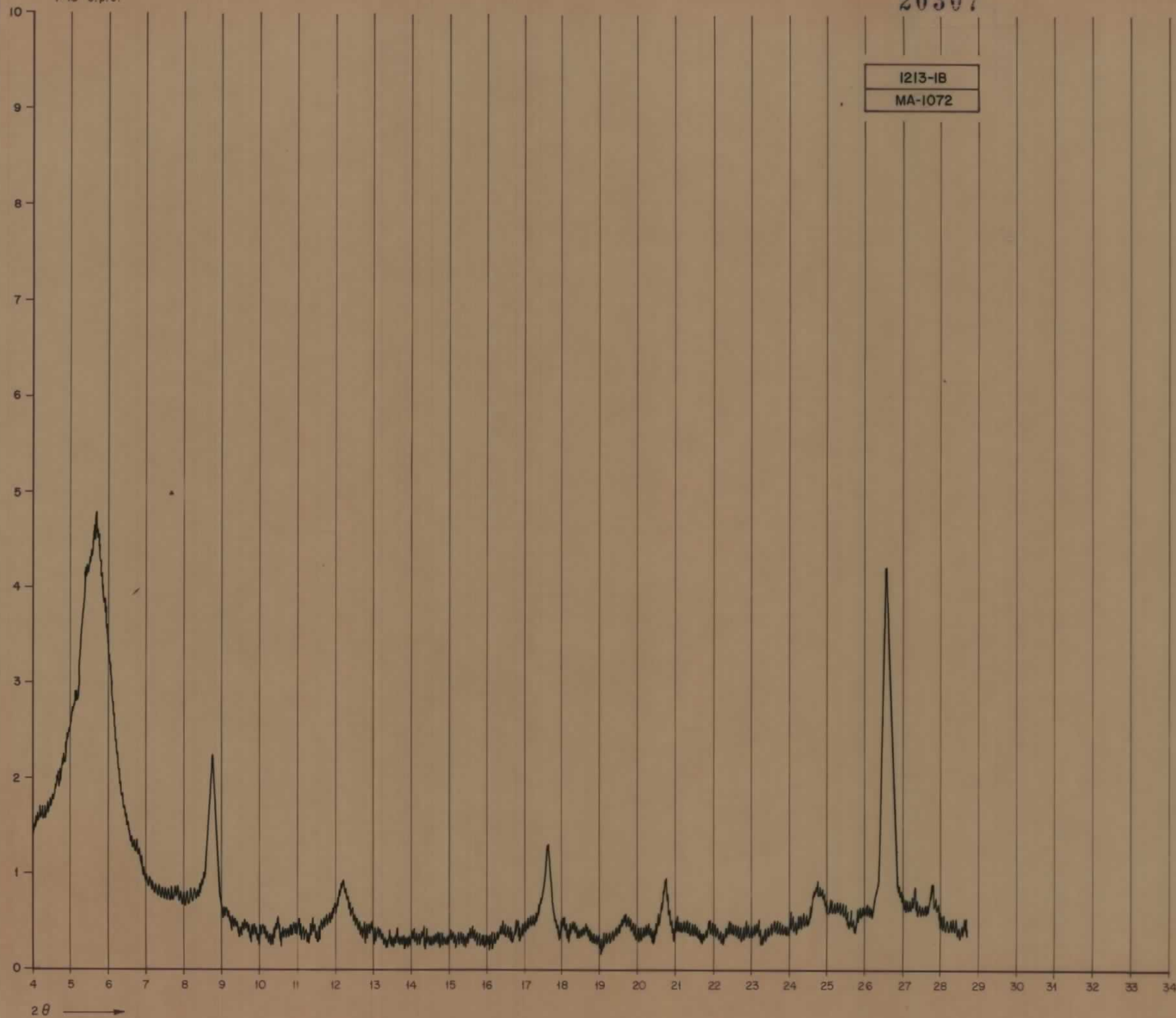


$1 \cdot 10^4$  c.p.s.

20307

1213-1B

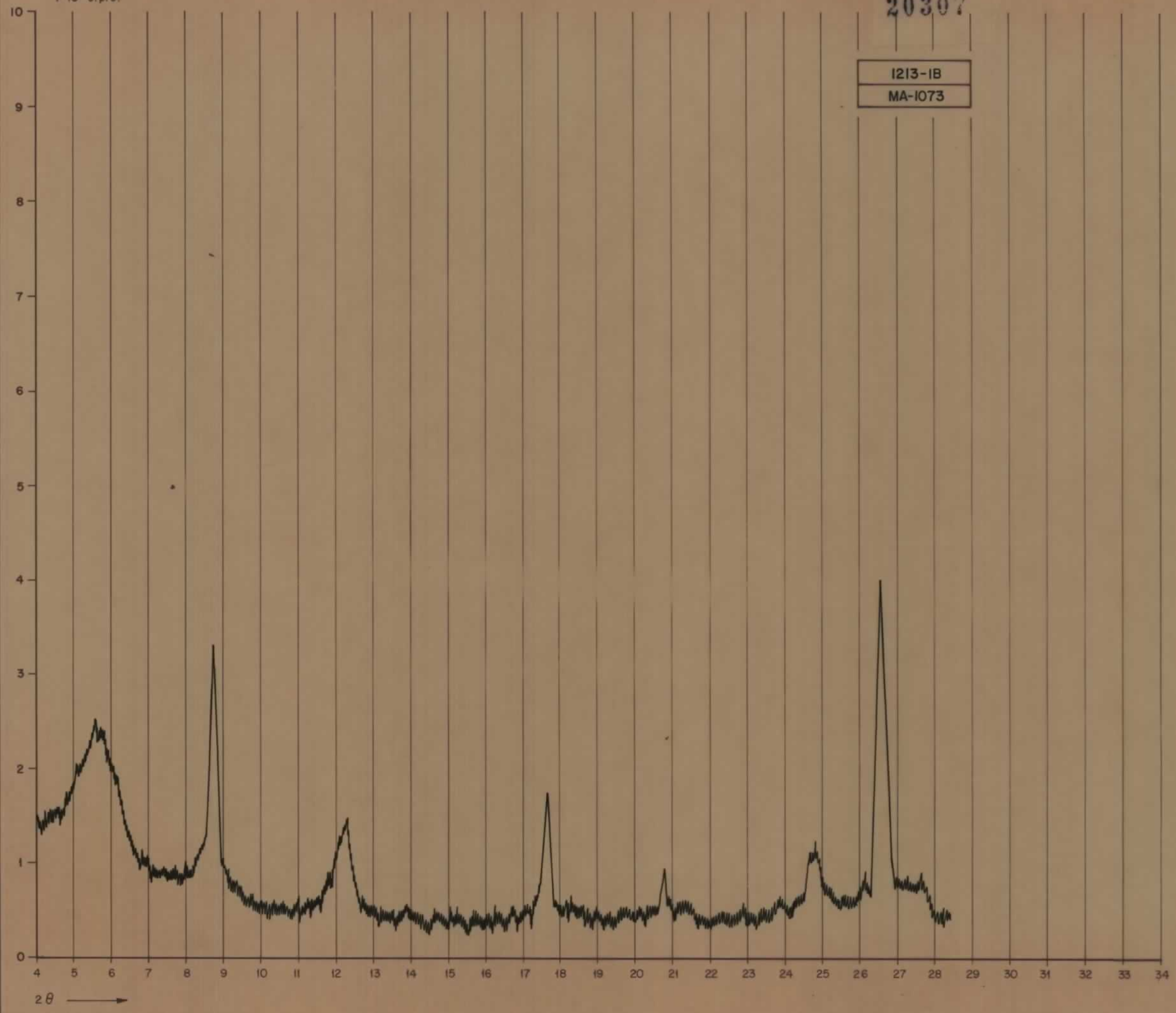
MA-1072



$1 \cdot 10^4$  c.p.s.

20307

I213-1B
MA-1073

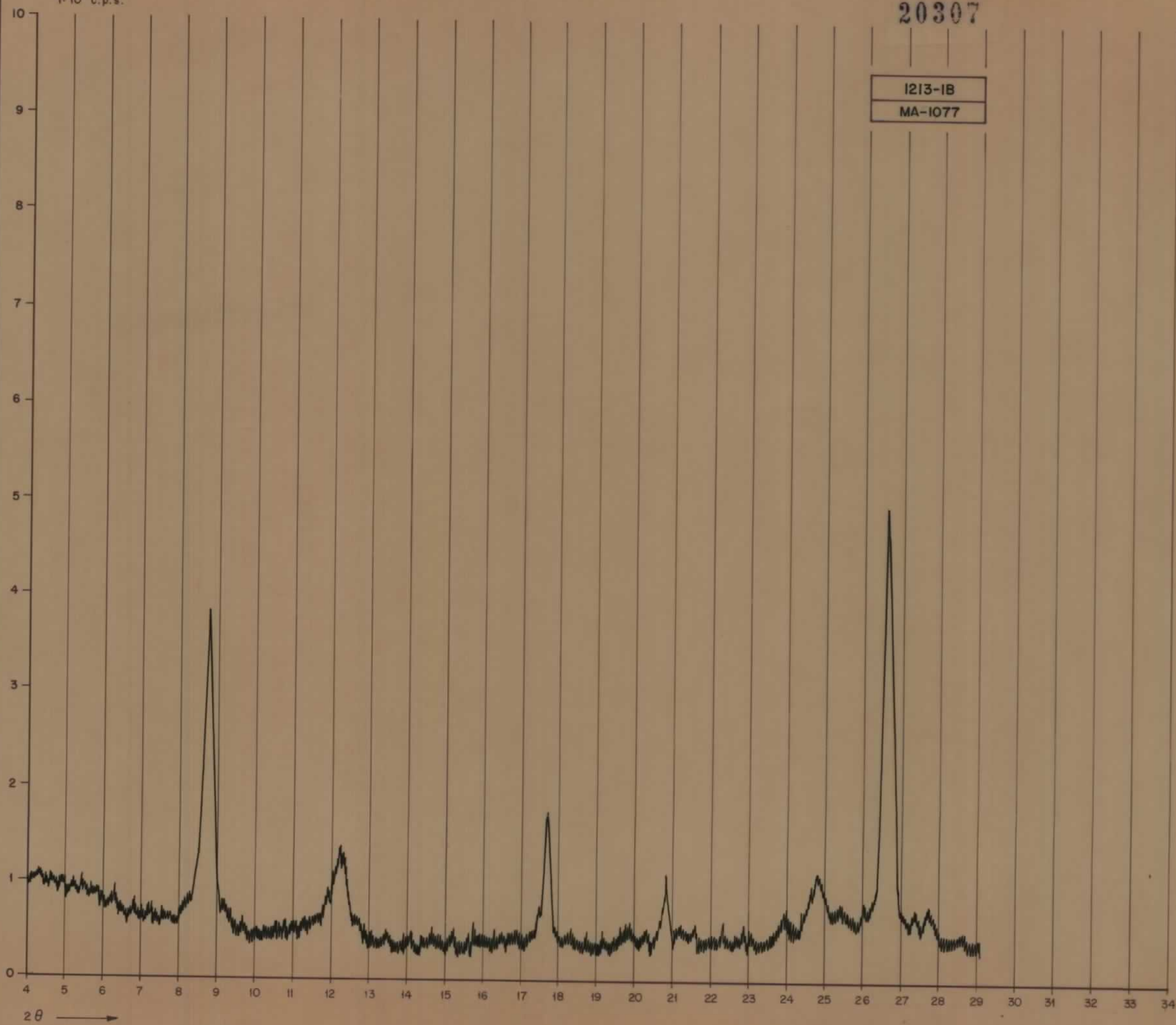


$f \cdot 10^4$  c.p.s.

20307

1213-1B

MA-1077



$2\theta$  →

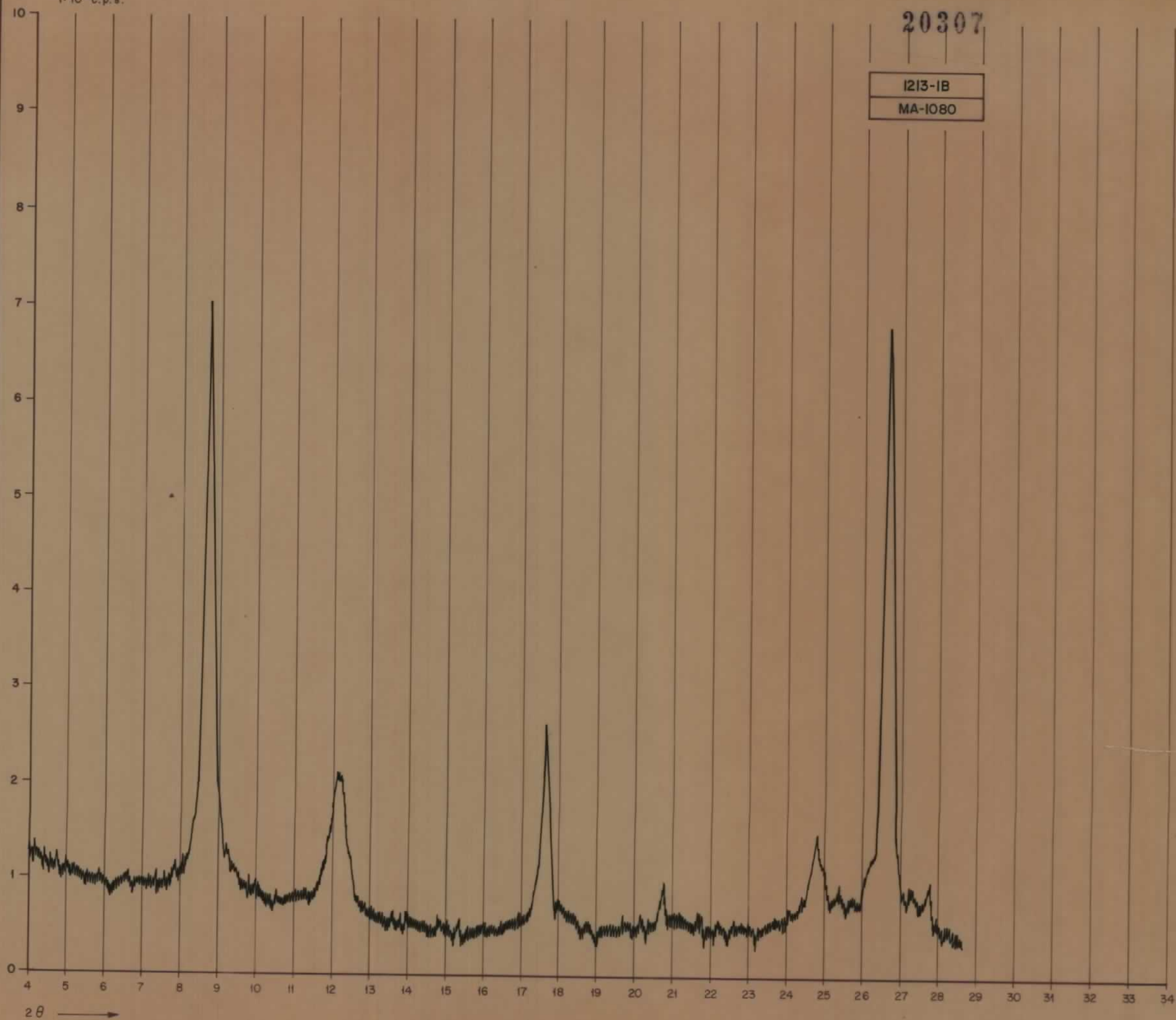


$1 \cdot 10^4$  c.p.s.

20307

1213-1B

MA-1080



$2\theta$  →

$1 \cdot 10^4$  c.p.s.

20307

1213-1B
MA-1083

